

تصميم وتصنيع قطعة معيارية بأحدث قواعد التصميم للتصنيع بالليزر الانتقائي

لقياس الأداء و تقييم الدقة البعدية في التصنيع الإضافي

محمد أمين داود ، مریم الحیانی المشکوری

خديجة بکای هاوري ، کمال الرکلاوي

جامعة عبد المالك السعدي، كلية العلوم والتكنيات، طنجة، المغرب

نشر إلكترونياً بتاريخ: ١٦ نوفمبر ٢٠٢٤ م



This work is licensed under a
Creative Commons Attribution-
NonCommercial 4.0
International License.

دقة بعدية ممكنة من الفولاذ المقاوم للصدأ L ٣١٦ . من

خلال تحليل توجه البناء بالتزامن مع الخصائص المادية المستخدمة وفحص الأشكال الهندسية المعقدة بأحجام وتجهيزات متنوعة، تم التوصل إلى تحديد القابلية لإعادة الإنتاج البعدي. استخدم نظام قياس بصري لحساب نطاق الأخطاء، وأظهرت النتائج أن دقة الأبعاد للمميزات في الجزء المطبوع كانت ضمن حدود التسامح المقبولة، مما يدل على فعالية وكفاءة تقنية SLM في التصنيع الدقيق.

تقدم هذه النتائج إسهامات هامة في فهم الإمكانيات والتحديات المتعلقة بتقنية الصهر بالليزر الانتقائي، معرفية بأن هذه التقنية ليست فقط قادرة على تحقيق دقة عالية، بل أيضاً تواجه قيوداً يمكن التغلب عليها من خلال البحث والتطوير المستمر.

الملخص

هذا المقال يقدم دراسة تفصيلية حول تقنية الصهر بالليزر الانتقائي (Selective Laser Melting, SLM) لتصنيع قطع هندسية معيارية، مع التركيز على تقييم الدقة البعدية وجودة السطح والقيود التقنية للنظام. تهدف هذه الدراسة إلى استكشاف الخصائص النهائية للأجزاء المصنعة باستخدام هذه التقنية، حيث يعتبر التصنيع الإضافي خطوة هامة نحو تحقيق الحرية الهندسية والتخصيص لمتطلبات مبتكرة. ومع ذلك، تواجه هذه التقنية تحديات بارزة في طباعة الأشكال الهندسية المعقدة ذات الأحجام الصغيرة والمركبة.

المدار الأساسي لهذه الدراسة يتمثل في تصميم وإنتاج نموذج معياري يشتمل على ميزات مختلفة بأشكال وأحجام متنوعة في جميع الأبعاد الثلاثة يستخدم لتقييم القدرات القصوى لأنظمة SLM في تصنيع الأجزاء بأقصى

examining complex geometric shapes in various sizes and orientations, reproducibility in dimension was identified. An optical measurement system was used to calculate the range of errors, and the results showed that the dimensional accuracy of the features in the printed part was within acceptable tolerance limits, demonstrating the effectiveness and efficiency of the SLM technique in precision manufacturing.

These results provide significant contributions to understanding the capabilities and challenges associated with Selective Laser Melting technology, recognizing that this technique is not only capable of achieving high precision but also faces limitations that can be overcome through continuous research and development.

Keywords: Additive Manufacturing, Selective Laser Melting, 316L, Benchmark artifact, Complex geometric profiles, Dimensional accuracy.

* المقدمة

التصنيع الإضافي ، المعروف أيضا باسم الطباعة ثلاثية الأبعاد، هو تقنية تطبع الأشياء عن طريق إضافة مواد في طبقات باستخدام بيانات من نموذج ثلاثي الأبعاد بمساعدة الكمبيوتر، على عكس عمليات التصنيع الطرحية التقليدية [١]. يتمتع التصنيع الإضافي بالعديد من الفوائد

الكلمات المفتاحية: الطباعة ثلاثية الأبعاد ، الصهر بالليزر الانقائي، ٣١٦ ، الأشكال الهندسية المعقدة، النموذج المعياري، الدقة البعدية.

Abstract

This article presents a detailed study on Selective Laser Melting (SLM) technology for manufacturing standardized engineering parts, focusing on assessing dimensional accuracy, surface quality, and the technical constraints of the system. This study aims to explore the final characteristics of the parts manufactured using this technology, as additive manufacturing is an important step towards achieving engineering freedom and customization for innovative products. However, this technology faces prominent challenges in printing complex geometric shapes of small and composite sizes.

The primary goal of this study is to design and produce a modular prototype that includes various features in different shapes and sizes across all three dimensions, used to evaluate the ultimate capabilities of SLM systems in manufacturing parts with the highest possible dimensional accuracy from stainless steel 316L. Through analyzing the orientation of the build in conjunction with the physical properties used and

والتيتانيوم والسبائك القائمة على النيكل، فغالباً ما يتم ملء البناء بالنيتروجين أو غاز الأرجون لإنشاء بيئة خاملة، مما يمنع إيجاد القطع المعدنية الساخنة من الخضوع للأكسدة.

على غرار تقنيات الطباعة ثلاثية الأبعاد الأخرى، تشمل عملية الصهر بالليزر الانتقائي (SLM) على سلسلة من المراحل، بدءاً من تقطيع بيانات CAD وتنتهي بإزالة القطع المطبوعة من لوحة البناء [٨].

تعتبر إرشادات التصميم حاسمة لزيادة كفاءة وجودة الأجزاء المصنعة باستخدام عملية SLM. وقد طورت هذه المبادئ التوجيهية جنباً إلى جنب مع التقدم في تقنيات التصنيع، وهي تستخدم الآن كأداة فعالة للمصممين لاختيار طريقة الإنتاج وإنشاء التصاميم المثلثي. علاوة على ذلك، تستخدم قواعد التصميم لتوصيل قدرات المعالجة الجديدة إلى المصممين والمهندسين، مما يسمح باستكشاف أكثر عميقاً لعملية التصنيع.

وقد دعا العديد من الباحثين إلى استخدام أجزاء قياس الأداء، والمعروفة أيضاً باسم "الأعمال الفنية للاختبار"، لتحسين الدقة وتقييم قدرة عمليات التصنيع AM في إنتاج أجزاء خالية من العيوب باستمرار وبأبعاد مقصودة [٩]. تعمل المصنوعات اليدوية كنماذج تمثيلية لتقييم عملية التصنيع بالإضافة إلى أداء الماكينة. يمكن تخصيصها لتقييم الدقة ودقة الأبعاد والتكرار وخسونة السطح [١٠، ١١].

علاوة على ذلك، فإن إنشاء قواعد تصميم مصممة خصيصاً لمختلف عمليات إدارة الأعمال يمكن أن يعزز فهم هذه التقنيات، مما يوفر للمستخدمين حريات تصميم جديدة [١٢]. بالاعتماد على قواعد تصميم محددة ومواصفات المعايير الدولية. هذا النهج يمهد الطريق لتحسين

مثل القدرة على تصنيع أشكال هندسية معقدة مع تقليل هدر المواد، واستيعاب مجموعة واسعة من أحجام الأجزاء، وتقدم مجموعة متنوعة من خيارات المواد [٢]. على مدى العقود القليلة الماضية، شهدت تكنولوجيا التصنيع الإضافي توسيعاً سريعاً ووجدت تطبيقات في مختلف القطاعات، بما في ذلك الطب والسيارات والفضاء والهندسة الحيوية وغيرها من الصناعات.

تم ابتكار العديد من العمليات، تتركز كل منها على مبادئ متميزة مثل البثق والصهر والبوليمر الضوئي والتبليد.

توفر هذه العمليات ميزة العمل مع مجموعة واسعة من المواد بدقة عالية، خاصة بالنسبة للأشكال الهندسية المعقدة [٣]، وهذه العمليات لا تقدم فقط دقة استثنائية في إنتاج الأشكال الهندسية المعقدة، بل توفر أيضاً مرونة محسنة في التصميم، مما يساهم غالباً في صناعة مكونات أخف وزناً [٤].

من بين مختلف عمليات تصنيع الإضافات المعدنية، تبرز تقنية الصهر بالليزر الاننقائي باعتبارها تقنية دمج طبقة المسحوق الأكثر تقدماً؛ وقد اكتسب اعتماداً واسع النطاق، لا سيما في التطبيقات الطبية الحيوية وتطبيقات الفضاء الجوي [٥]. يتضمن SLM استخدام ليزر عالي الكثافة لإذابة ودمج المساحيق المعدنية بشكل اننقائي، مما يؤدي إلى إنتاج أجزاء شبه شبكة بكثافة كاملة تقريباً (تصل إلى ٩٩.٩٪ كثافة نسبية). [٦، ٧].

يسمح الصهر بالليزر الاننقائي بتصنيع أجزاء فردية ذات أشكال هندسية معقدة تتوافق مع الخصائص الميكانيكية للمكونات المصنعة تقليدياً في سلاسل كبيرة. نظراً لأن العملية العملية تشتمل على مواد معدنية مثل الفولاذ والألومنيوم

والدقة في الإنتاج، مما يسهم في دفع عجلة التقدم الصناعي والبحث العلمي.

إن الاستثمار في البحث والتطوير لتحسين تقنيات التصميم والتجميع بالليزر الانتقائي يمثل خطوة استراتيجية نحو الابتكار الصناعي الذي يواكب التطورات التكنولوجية العالمية، ويدعم تحقيق أعلى معايير الجودة والفعالية في إنتاج المعدات والأجزاء الصناعية.

* أهداف البحث

البحث الذي تُجربه يستهدف تعزيز قواعد التصميم المستخدمة في التصنيع الإضافي خاصة بتقنية الصهر بالليزر الانتقائي (SLM)، لضمان إنتاج قطع بدقة متناهية تتوافق مع المعايير الدولية وتلبي الحاجات الصناعية المعاصرة. وكذا تعميق الفهم العلمي لديناميكيات الصهر بالليzer الانتقائي ودقة الأبعاد للمكونات المصنعة ، وذلك من خلال دراسات تجريبية مفصلة. و تقديم معرفة عميقة ومفصلة للمجتمع العلمي والصناعي حول أفضل الممارسات.

من خلال تحقيق هذه الأهداف، يسعى البحث لتقديم مساهمات مهمة في مجال التصنيع الإضافي، وتحديداً في استخدام تقنية الصهر بالليزر الانتقائي، والتي من شأنها دعم الابتكار وتعزيز التنافسية في الصناعات العالية التقنية على المستوى العالمي.

* حدود البحث

على الرغم من الإمكانيات الواسعة التي يقدمها هذا البحث ، فإنه يواجه عدة تحديات وقيود قد تؤثر على نطاق ونتائج الدراسة أبرزها تعقيد تقنية SLM إد تعتبر عملية معقدة تتطلب دقة عالية في التحكم بالعديد من

إمكانات التصنيع الإضافي، موفرا بدائل تصميم مبتكرة تلبي متطلبات الصناعات الحديثة.

في هذا البحث، في هذه الورقة، قدم تصميم وتجميع قطعة اختبار معيارية هندسية وفقاً لقواعد التصميم للتجميع بالليزر الانتقائي ، ومعايير ISO/ASTM المتعلقة بالتصنيع الإضافي. وبالتالي، نَظَهَر أنَّ الجزء التجاري مصمم بمتطلبات هندسية مختلفة لتوصيف الدقة البدنية لتقدير قدرة نظام SLM في تجميع ميزات مختلفة بجودة سطحية جيدة. المَدْفُ هنا هو فحص الأداء الهندسي لنظام SLM من خلال تقدير دقة الأبعاد للأشكال الهندسية المعقدة المنتجة من الفولاذ المقاوم للصدأ L316. ومن خلال تجنب قيود القياس، ستمكن هذه التكنولوجيا من إنتاج منتج عالي الجودة قد يليي حتى التفاوتات المسموح بها في الآلات التقليدية.

* أهمية البحث

البحث الحالي يسلط الضوء على الأهمية البالغة لتطوير وتحديث قواعد التصميم المخصصة لتعزيز كفاءة التصنيع الإضافي باستخدام تقنية الصهر بالليزر الانتقائي (SLM). وذلك بالاعتماد على معايير دقيقة تمكن من إنتاج قطع بمواصفات عالية الدقة، ويعزز بشكل ملموس الفهم العميق لهذه التقنيات الحديثة بالإضافة إلى معرفة حدود وإمكانياتها.

هذا النهج الشامل يفتح الباب أمام تحسين كبير في إمكانيات التصنيع الإضافي، موفرا بدائل تصميم مبتكرة وفعالة تلبي متطلبات الصناعات الحديثة والمتقدمة. من خلال الاستفادة القصوى من هذه التقنية، يمكن للشركات والمؤسسات الصناعية تحقيق مستويات أعلى من الكفاءة

* التصنيع بالليزر الانتقائي

يمكن التصنيع بالليزر الانتقائي من إنتاج قطع فردية بأشكال هندسية معقدة تتطابق مع خصائص الميكانيكية للقطع المصنعة تقليديا في سلاسل الإنتاج. نظرا لأن العملية تعامل مع مواد معدنية مثل الصلب، الألومنيوم، التيتانيوم، وسبائك قائمة على النikel، فإن غرفة البناء غالباً ما تملأ بغاز النيتروجين أو غاز الأرجون لتوفير جو خامل لحماية القطع المعدنية المحسنة من الأكسدة.

يتميز SLM بقدرته على تحقيق نسبة كثافة مادية عالية جداً، مما يجعل المكونات المنتجة مثالية للتطبيقات التي تتطلب متانة وأداء عالي، مثل في صناعات الفضاء، الطيران، الطبية والدفاع. علاوة على ذلك، يسمح التصميم القائم على الكمبيوتر بتحسينات كبيرة في الأداء الوظيفي والكفاءة المادية عبر تقليل الوزن دون التضحية بالقوة، من خلال الاستفادة من المياكل الفراغية وتصميمات الشبكة المعقدة . بالإضافة إلى ذلك، يمكن لـ SLM تقليل المدر المادي وتقصير دورات الإنتاج عن طريق الحد من الحاجة إلى العمليات اللاحقة والتجميع، وذلك بفضل قدرته على إنتاج قطع معقدة كقطعة واحدة. ومع ذلك، تتطلب هذه التقنية فيما عميقاً لخصائص المواد وديناميكيات الليزر لتحقيق الجودة المطلوبة والتحكم في العيوب مثل الشقوق الناتجة عن الإجهاد الحراري.

تتضمن عملية التصنيع بالليزر الانتقائي سلسلة من الخطوات مثل تقنيات الطباعة ثلاثية الأبعاد الأخرى. يتم توضيح مفهوم عملية البناء بالليزر الانتقائي في الشكل ١ حيث يمكن تقسيم خطوات العملية إلى:

المتغيرات مثل الطاقة، السرعة، ودرجة الحرارة. الأخطاء في أي من هذه العوامل يمكن أن تؤثر سلباً على دقة الأبعاد وجودة القطع النهائية. وكذا الحاجة لمزيد من الفهم النظري والعملي لتأثيرات المعالجات ما بعد الطباعة مثل السفع الرملي، التلميع، والمعالجة الحرارية على الخصائص للمنتجات يحتاج إلى دراسة معمقة.

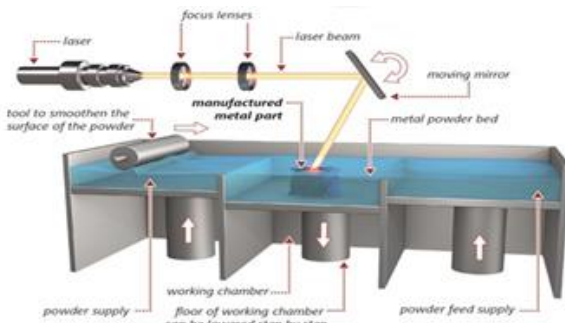
مشاكل التوافق والتقييس وعدم وجود معايير موحدة للعمليات والمواصفات في تقنية SLM يمكن أن يؤدي إلى تحديات في التوافق بين مختلف الأنظمة والماكينات، مما يعيق التبادلية والفعالية.

إن التعامل مع هذه القيود يتطلب تركيزاً مكثفاً على البحث والتطوير، وفهم التقنيات المستخدمة، والتعاون لتحقيق التقدم المطلوب في هذا المجال.

* منهج البحث

في إطار دراستنا لتقدير القدرات القصوى لتقنية الصهر بالليزر الانتقائي (SLM) في تصنيع الأجزاء بأقصى دقة بعديه ممكنه تم تبني منهج تجربى حيث صمم مكون معياري بناء على الأعمال ذات الصلة وقواعد التصميم التي تعكس التعقيدات و التحديات الحقيقية المتوقعة في الاستخدامات الصناعية . ثمت طباعة هذا المكون باستخدام تقنية SLM لتقدير قابلية إعادة الإنتاج وقدرة النظام على إنتاج الخصائص الهندسية المحددة بدقة عالية.

لضمان الدقة والتحقق من النتائج، تم استخدام المجرر الرقمي لقياس جميع الميزات الهندسية للجزء المختبر. ولتعزيز الثقة في النتائج المستخلصة، أُجري كل قياس أربع مرات على الأقل، لضمان الدقة الإحصائية.



شكل ١: مبدأ عملية الصهر بالليزر الانتقائي.

* تصميم الجزء المعياري * قواعد التصميم

تلعب قواعد التصميم دوراً رئيسياً في تحسين كفاءة وتحسين جودة القطع التي يتوجهها العملية. لقد تطورت هذه القواعد مع تقدم عمليات التصنيع وتستخدم كطريقة فعالة للمصمم لاختيار عملية التصنيع وإنشاء تصاميم محسنة. كما تستخدم قواعد التصميم كطريقة فعالة لتقديم قدرات عملية جديدة للمصممين والمهندسين بحيث يمكن استكشاف العملية بشكل كامل.

كان دانيال توماس (توماس بدون تاريخ) من بين الأوائل الذين طوروا قواعد التصميم للتصنيع الإضافي للمعادن وبالتالي تحديد عملية التصنيع بالليزر الانتقائي، لتقديم عملية التصنيع بالليزر الانتقائي وتحديد القيود الهندسية لها. قواعد التصميم المستخدمة لتصميم قطعنا التجريبية المعايرية ملخصة في الجدول ١.

* تصميم القطعة المعايرية

تم تصميم القطعة المعايرية وفقاً للخصائص المقترنة من قبل بيون وآخرون (بيون ولي ٢٠٠٣)، بالإضافة إلى المعاير الدولية القائمة على التسامحات الهندسية) مثل ISO/ASTM DIS 52904

١- تصميم القطعة باستخدام برنامج التصميم بمساعدة الحاسوب (CAD).

٢- استيراد بيانات CAD كملف للتصنيع بالتسبيب الضوئي (STL) إلى برنامج التقطيع لإنتاج بيانات الشرائح وتوفير هيكل دعم لأي عناصر معلقة.

٣- رفع نموذج D3 إلى معدات الصهر بالليزر الانتقائي.

٤- تبدأ عملية البناء بتطبيق طبقة رقيقة من مادة البويرة على لوحة الأساس.

٥- يقوم شعاع الليزر بمسح البويرة ويذوب المناطق المحددة باتباع النمط الذي تحدده البيانات، مما يسمح بإنتاج الطبقة الأولى من القطعة.

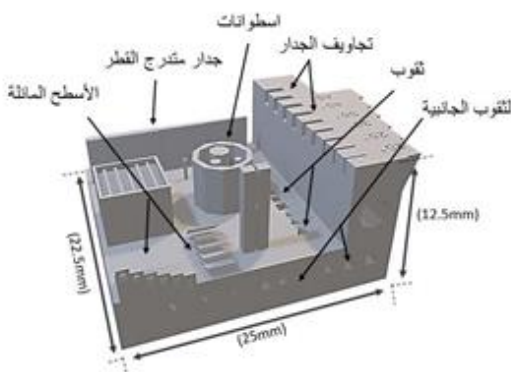
٦- يتم خفض منصة البناء، ويتم وضع طبقة جديدة من البويرة فوقها بواسطة بكرة ويقوم الليzer بمسح طبقة جديدة.

٧- يتكرر العملية حتى يتم بناء القطعة بالكامل.

٨- زال القطعة المبردة من خزان البويرة لتنظيفها من الدعامات وجزيئات البويرة غير المنصهرة.

٩- قوة الليزر، سرعة المسح، مسافة الفقس، وسمك الطبقة، جميعها منتظمة بحيث يمكن لمتجه النوبان الواحد أن يندمج تماماً مع متوجهات النوبان المجاورة والطبقة السابقة. بعد انتهاء عملية مسح الليزر، يتم إزالة الجزيئات الفضفاضة من غرفة البناء، ويمكن تفريغ العنصر يلوياً أو كهربائياً وفصله عن لوحة الأساس) باستخدام تقنية التفريغ الكهربائي EDM). العملية بأكملها آلية، باستثناء تحضير البيانات وإزالة المكونات المنتجة من منصة البناء.

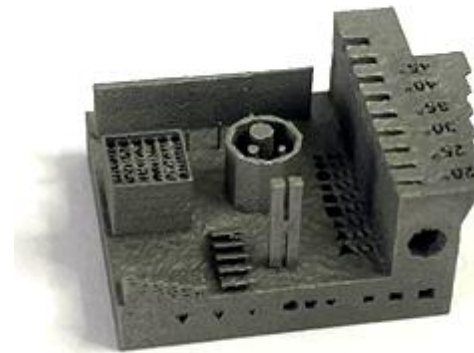
تصنيع للتصنيع	وصف
	- يجب تطبيق الماد الأذني لحجم الفجوة لتجنب الانصهار - المسطحي - الماد الأذني حجم الفجوة = mm 0.3 ± 0.02 - أقل من 0.3 مم وفجوة 45 درجة، ستكون هناك حاجة إلى دعماً وستيت (أعلى الفجوة)
	- mm 0.4 = mm 0.02 - يجب أن تكون زنة الجدار = سميكة على - لا يتم تصميم المولاذ الذي يقل سميكته عن mm 0.4 على
	- الحد الأذني لقطع التحريف الرأسى = mm 0.7 - أقل من الحد يقل بـ 5 درجة بـ 10 درجة حبيبات مسحوق غير منصهرة بالكامل
	- أكبر ثقب يمكن صنعه بدون دعامة يصلح قطره mm 7 - أصغر ثقب يمكن صنعه بدون دعامة يصلح قطره mm 0.3 ± 0.02 - التثقب الذي يصلح قطره 2 و 3 مم لها تسامي درجة حرارة mm 0.2 ± 0.02 - ستكون التثقب الذي يصلح قطره 3 و 4 مم دقة في حدوود mm 0.2 ± 0.02 - جميع التثقب يصلح قطرها إلى 1 مم يتم قياسها بـ mm 0.1 ± 0.02
	- الأسطح بزاوية 45 درجة تحتاج إلى دعم - الأسطح ذات الاتجاه الأقل من 45 درجة ذات جودة سطحية زرنية - الاتجاه المثلث هو 90 درجة



كما هو موضح في الشكل ٢، يتكون جزء الاختبار من مجموعة من الميزات مرتبة على لوحة القاعدة. الخصائص التي تم فحصها بواسطة كل ميزة هي: فتحات بأشكال مختلفة (مثلث، دائرة، مربع) وأقطار مختلفة (mm ٠.٧، mm ٠.٩، mm ١.١، mm ١.٣)، ثلاثة جدران (mm ٠.٦، mm ٠.٨، mm ٠.٩)، بأبعاد مختلفة (٤ mm، ٦ mm، ٨ mm)، شقوق مختلفة متتالية من ١ mm إلى ٢٠ mm وثلاثة أسطوانات بأقطار مختلفة (mm ٠.٧، mm ١.١، mm ٢.٣).

ISO 12780 للستقامة، ISO 52911-1 للمسطحة، ISO 12180 للدائيرية، و ISO 12781 للجولة. (وتشمل أحجاماً مختلفة (صغرى، متوسطة، كبيرة) وأشكالاً مختلفة من الميزات (مكعب، حفرة، جدار، أسطوانة... إلخ) موضوعة في جميع الاتجاهات الثلاثة، بالإضافة إلى المكونات الداخلية والخارجية. الخطوة الأولى من إجراءات التصميم لدينا تتكون من تحليل الأديبيات ومقارنة أكثر القطع التجريبية تطوراً، ثم يتم اختيار نوع الميزات وحجمها بناء على الأعمال ذات الصلة وقواعد التصميم، وأخيراً، تم تصميم القطعة التجريبية.

تم تصميم القطعة التجريبية باستخدام برنامج التصميم CATIA بمساعدة الكمبيوتر بأبعاد ٢٥ mm × ٢٢٠ mm × ١٢٥ mm.

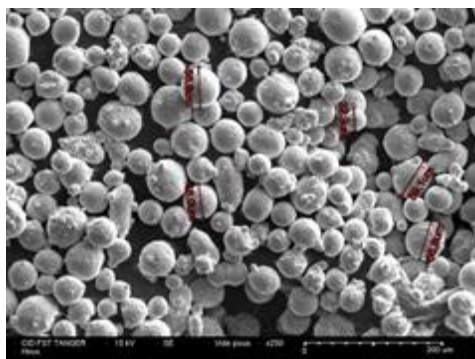


شكل ٢: (أ) نموذج CAD للقطعة التجريبية. (ب) القطعة التجريبية المطبوعة.

حجم الجسيمات عن نطاق يمتد من ٢٥,٨ ميكرومتر إلى ٦١,٨ ميكرومتر.

تم استخدام التحليل الطيفي للأشعة السينية المنشطة من الطاقة (EDS) لفحص التركيب الكيميائي لعينة الفولاذ المقاوم للصدأ ٣١٦ لتر. تم إجراء الفحص بجهد تيار قدره ١٥ كيلو فولت ومرة اكتساب قدرها ٦٠ ثانية. يشير طيف EDS، الموضح في الشكل ٣ ب، إلى وجود العديد من المكونات الأساسية في عينة الفولاذ المقاوم للصدأ ٣١٦ لتر. تم تلخيص كل هذه المكونات في الجدول ٢.

وكانت المكونات الأساسية المؤكدة هي الحديد (Fe) والكروم (Cr)، وهو ما يتوافق مع تكوين السبائك. تم تحديد النسبة المئوية لوزن Fe و Cr بحوالي ٦٨٪ و ١٧٪ على التوالي. بالإضافة إلى الحديد والكروميمون، تم اكتشاف كميات ضئيلة من العناصر الأخرى، بما في ذلك النيكل (Ni)، والموليبدينوم (Mo)، والمنغنيز (Mn). كان Ni و Mo موجودين بمستويات تبلغ حوالي ١٢٪ و ٦٪ على التوالي، مما يؤكد التركيب المتوقع للفولاذ المقاوم للصدأ ٣١٦ لتر.



(mm) مفصولة عن بعضها البعض بمسافات .٣ mm .٧ mm .١١٥ mm .٠٧ mm.

لا يوفر المسحوق الموجود في غرفة التصميم أي دعم للجزء أثناء بنائه، لذلك ستكون جميع الأسطح المائلة مدرومة ذاتياً بشكل مثالي، وبهذا تكون قد حققنا زعانف مائلة بيزوايا مختلفة (٤٠°، ٣٥°، ٣٠°، ٢٥°) إلى المحور الأفقي.

* مسحوق الفولاذ

في هذه الدراسة، تم استخدام مسحوق معدني من E-Plus- L٣١٦، تم شراؤه من SLM (بكين، الصين) لإنتاج الأجزاء باستخدام 3D. يحظى هذا الفولاذ المقاوم للصدأ بشعبية كبيرة بين الصناعات المختلفة مثل الكيماويات والبتروكيماويات والأدوية والأجهزة المنزلية [٢٠].

التركيب الكيميائي (wt.%)								
C	Mn	S	Si	Cr	Ni	Mo	N	O
<0.03	<2	<0.005	<1	16 - 19	9 - 13	1.5 - 3	<0.003	<0.002

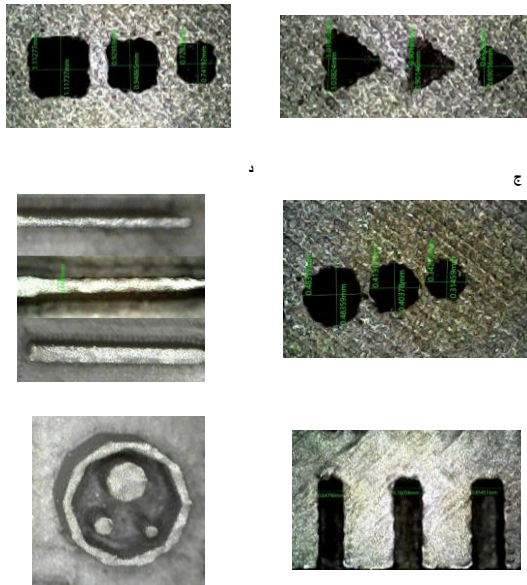
الجدول ٢. التركيب الكيميائي للفولاذ المقاوم للصدأ ٣١٦ لتر.

للحصول على نظرة ثاقبة لخصائص مسحوق الفولاذ المقاوم للبقع ٣١٦ لتر، استخدمنا الفحص الجهرى للإلكترون (SEM) لفحص شكله وبنيته الدقيقة، مما يوفر معلومات قيمة لمختلف تطبيقات التصنيع. قدم تحليل SEM رؤى شاملة حول خصائص المسحوق المعدني. كما هو مبين في الشكل ٣ أ، كشف فحص مورفولوجيا الجسيمات عن شكل كروي أو غير منتظم في الغالب، بما يتوافق مع السمات المرتبطة عادة بالمساحيق المعدنية المنتجة من خلال الذرات أو الطرق المماثلة. كشف تقييم توزيع

في تعزيز المظهر الجمالي والتشطيب السطحي والخصائص الوظيفية للأجزاء المصنعة من خلال SLM.

* النتائج والمناقشة

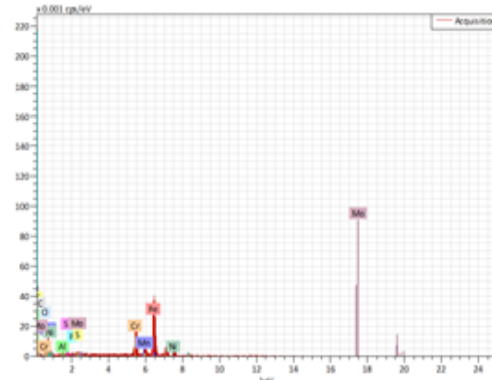
* دقة الأبعاد



الشكل ٤. الميزة المطبوعة: (أ) ثقوب مثلثة، (ب) ثقوب مربعة، (ج) ثقوب دائرة، (د) قطر المدار ، (ه) تجاويف المدار، (و) أسطوانات.

* ثقوب مثلثة

ويبين الشكل ٤ أ الثقوب المثلثية المطبوعة، والتي تشير إلى أن البروز عند نقطة التقاطع بين الخطين المندسرين المائلين يتحول من الشكل المدبب إلى الشكل الدائري. ويمكن تفسير الظاهرة المرصودة بالنظر إلى تأثير بركة النوبان على المنطقة الحادة، مما يؤدي إلى تحولها إلى شكل كروي. ويعرض الجدول ٣ الأبعاد المقاسة للثقوب الثلاثية الشكل، ويوضح الشكل ٥ متوسط الانحرافات الأبعادية عن الأبعاد المصممة. تشير الانحرافات متوسط العمر إلى أن



شكل ٥: تحليلات مجهرية لمسحوق الفولاذ (٣١٦) المطبوع للصدأ: (أ) صور تصفيلية بالمجهر الإلكتروني المساح للمورفولوجيا (SEM)، (ب) طيف الأشعة السينية المشتتة للطاقة (EDX) لتحليل التركيب الكيميائي.

* الطباعة وما بعد المعالجة

تمت طباعة الأجزاء باستخدام طابعة SHINING 3D EP-M250 SLM الأبعاد، ومجهمزة بلزير ألياف بقدرة ٥٠٠ واط، وحجم موضععي ٧٠ ميكرومتر، وسرعة مسح تبلغ ٨ م/ث، وحجم بناء ٢٦٢ × ٢٦٢ × ٣٥٠ مم مكعب. لتجنب أكسدة العينات، تم إدخال غاز الأرجون إلى غرفة SLM مع الحفاظ على مستوى الأكسجين المتبقى أقل من ٠.١٪. استخدمت عملية الطباعة معلمات محددة على النحو التالي: سماكة الطبقة التي تم تكوينها عند ٥٠ ميكرومتر، مع ضبط طاقة الليزر على ١٥٠ واط وسرعة المسح الضوئي على ٧٠٠ مم/ثانية.

بعد تصنيع SLM، خضعت المكونات لإجراءات السفع الرملي الشاملة. تضمنت هذه العملية قذف جزيئات كاشطة بسرعة عالية على أسطح أجزاء SLM. يعمل السفع الرملي على تحسين الملمس الخارجي وإزالة جزيئات المسحوق المتبقية، مما يؤدي إلى الحصول على منتج نظيف أكثر سلاسة ونظافة. لعب هذا التدخل الإضافي دوراً مهماً

المسحوق المنصهر الذي قد يتراكم بسبب عوامل مختلفة، مثل مثل تقلبات درجات الحرارة أو عدم الاتساق في عملية الطباعة، مما يتسبب في انسداد آلية إعادة الطلاء. ونتيجة لذلك، يفشل جهاز إعادة الطلاء في توزيع طبقة المسحوق بالتساوي، مما يؤدي إلى ترسيب غير متساوي للمادة. يمكن أن يؤثر هذا الترسيب غير المتساوي سلباً على جودة ودقة المادة المطبوعة، وبالتالي يمنع تكوين الطبقة المناسبة ويساهم عيوباً في المنتج النهائي مع انحراف قدره ٤١٧ مم.

* تجاويف الجدار

تظهر تجاويف الجدار المطبوعة في الشكل ٤ هـ. يتم تمثيل قياسات جميع أجزاء الاختبار في الجدول ٧، بما في ذلك متوسط انحرافات الأبعاد عن الأبعاد الاسمية. تمت طباعة الجدران بسمكافة تتراوح من ٠٣٠ ملم إلى ١ ملم بدقة أبعاد مرضية. ومع ذلك، لم تتم طباعة الجدران التي يبلغ سمكها ٠٢٠ مم بشكل صحيح، مما يظهر انحرافاً كبيراً في الأبعاد يبلغ حوالي ٥٧٪ خطأ، وهو ما يمكن تفسيره بنفس الظاهرة التي تمت مناقشتها سابقاً.

ويرد الرسم البياني الذي يعرض انحرافات الأبعاد المتوسطة في الشكل ٥، مما يدل على دقة مقبولة ، حيث بلغ قياس انحراف ٣١٠٠ ملم.

* أسطوانات

يعرض الشكل ٤ والأسطوانات المطبوعة، موضحاً موضحاً أن الأسطوانة الأصغر تمت طباعتها بشكل بيضاوي، وهذا التشوه يمكن أن يكون ذلك بسبب التوزيع غير المتساوي للحرارة أثناء عملية الطباعة أو التبريد السريع، مما قد يؤدي إلى تشوهات حرارية تؤدي إلى اتخاذ الشكل الأسطواني شكلاً بيضاوياً.

مستوى الاستنساخ كان ضمن النطاق المقبول لخطأ الأبعاد،
· بانحراف قدره ٤٧

* ثقوب مربعة

يوضح الشكل ٤ ب الثقوب المربعة المطبوعة، مما يشير إلى تغيير كبير في حدتها عند تقاطع حافتي الخط المتعامدين، من تشكيل مدبب إلى مظهر مستدير، وهو ما يمكن تفسيره بنفس الظاهرة التي لوحظت في الثقوب المثلثية . تم قياس أبعاد جميع العينات التسع وترد في الجدول ٤. ويمكن ملاحظة أن للانحراف قدره ١٤٧ مم.

* فتحات دائرية

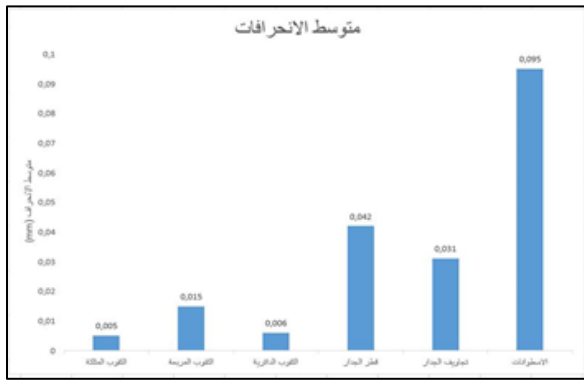
يتم توضيح الفتحات الدائرية المطبوعة في الشكل ٤ جـ. يتم سرد جميع الأبعاد المقاسة للمكونات التي تم اختبارها في الجدول ٥. حيث تقدم العينة انحراف قدره ٣٨٣ مم.

Features	Designed dimensions (mm)	Measured dimensions (mm)	Features	Designed dimensions (mm)	Measured dimensions (mm)	Features	Designed dimensions (mm)	Measured dimensions (mm)
Circular holes	0,7	0,694	Square holes	0,7	0,707	Triangular holes	0,7	0,704
	0,9	0,877		0,9	0,927		0,9	0,908
	1,1	1,014		1,1	1,11		1,1	1,102
Average deviations			Average deviations			Average deviations		
0,0383			0,0147			0,0047		
الجدول ٥: قياسات الثقوب المربعة								

* قطر الجدار

ويصور الشكل ٤ د الجدران المطبوعة، ويقدم الجدول ٦ قياسات جميع العينات، إلى جانب متوسط انحرافات الأبعاد عن أبعادها الاسمية. تتميز الجدران التي يبلغ سمكها ٠٦٠ مم بدقة أبعاد فائقة مع الحد الأدنى من الانحراف. وعلى العكس من ذلك، تمت طباعة الجدران بسمكافة ٠٤٠ ملم و ٠٨٠ ملم بأحجام أقل وأعلى من أبعادها الاسمية، على التوالي. يمكن أن تعزى هذه الظاهرة إلى

داخل طابعة SLM، مما يدل على القدرة العالية لهذه التقنية على إنتاج قطع بمواصفات دقيقة وجودة عالية.



شكل ٥: رسم بياني لمتوسط الانحرافات البعدية

تعتبر المعلمات الفعالة مثل سرعة المصح ومسافة الفتحة وقوة الليزر وسمك الطبقة ونقطة شعاع الليزر وغيرها مهمة في الطباعة ثلاثية الأبعاد. ومع ذلك، ظلت هذه المعلمات ثابتة لتحديد دقة الأبعاد للجزء المعياري لتقييم تأثيرات ميزات التصميم على إمكانية طباعة باستخدام النوبان بالليزر الانتقائي. كما هو مبين في الشكل ٥ الميزات المعددة المطبوعة بواسطة النوبان بالليزر الانتقائي لها نفس الطوبولوجيا الهندسية فيما يتعلق بالنموذج المصمم.

كانت الأبعاد المقاومة للميزات المطبوعة ضمن نطاقات الخطأ المقبولة. أثبت تحليل الأبعاد أن هناك دقة كبيرة للميزات الكبيرة ذات الأبعاد الأكبر من ١ مم. وقد لوحظ من التجربة أن الميزات ذات الأبعاد التي تقل عن ٦٠ مم لها تشوه كبير إذا لم يتم دعم الجزء بشكل صحيح. يتحول شكل الدائري إلى الشكل الإهليجي عند حدوث تغيير في الزاوية الحذرونية.

يتمتع القطع العرضي الإهليجي في الاتجاه الرأسى بأداء أفضل من الاتجاه الأفقي الإهليجي والمقطع العرضي الدائري. على الرغم من أن تدفق الماء كان غير مقيد في قناة

يوفر الجدول ٨ نظرة شاملة على القياسات لجميع العينات، ومن الجدير بالذكر أن متوسط الانحرافات البعدية كان ضمن نطاق مقبول ٠٠٩٤٧ مم .

الجدول ٨: قياسات الانحرافات		الجدول ٧: قياسات تحزيف الجدار		الجدول ٦: قياسات قطر الجدار	
Features	Designed dimensions (mm)	Measured dimensions (mm)	Features	Designed dimensions (mm)	Measured dimensions (mm)
Cylinders	0,7	0,704	1	1,01	
	1	3,02	0,9	0,92	
	2	2,26	0,8	0,802	
	Average deviations	0,0947	0,7	0,73	
Wall cavities		Wall extrusions		Wall	
0,6		0,6		0,611	
0,5		0,521		0,511	
0,4		0,458		0,458	
0,3		0,329		0,329	
0,2		0,301		0,301	
Average deviations		Average deviations		0,0901	
				0,0417	

* النتائج والآفاق

تقدم هذه الدراسة رؤى قيمة حول دقة أبعاد المكونات المنتجة باستخدام النوبان بالليزر الانتقائي (SLM) تم تطوير جزء اختباري لتقييم الدقة البعدية، قيود النظام، وجودة السطح للأجزاء المصنعة. تشمل القطعة الاختبارية المقترحة على ميزات مختلفة بأشكال وأحجام متنوعة في جميع الأبعاد الثلاثة مع التركيز على جوانب مثل الجدران، والأسطوانات، والفتحات، والمساحات المحوفة.

تحول الشكل الهندسي للميزات الحادة، مثل الانتقال من التكوينات المدببة إلى المستديرة في الثقوب المثلثة والمربيعة، بالإضافة إلى التباينات في سمك الجدران، يمكن أن يعزى إلى تأثير بركة النوبان. هذا يبرز أهمية فهم ديناميكيات الحرارة وتوزيع المسحوق خلال عملية التصنيع الإضافي.

لقد أظهرت الأبعاد المقاومة للميزات المطبوعة انحرافاً بعدياً مقبولاً مقارنة بالأبعاد المصممة. يمكن تفسير هذه الدقة البعدية الملحوظة بالتوزيع الفعال لتدفق الغاز داخل غرفة البناء و التحكم الدقيق في عملية البناء والبيئة

Technology for the Future? »
Laser Technik Journal
9(2):33-38.
doi:
10.1002/latj.201290018.

Byun, Hong-Seok, et Kwan Heng Lee. 2003. « Design of a New Test Part for Bench-marking the Ac-curacy and Surface Finish of Rapid Prototyping Pro-cesses ». P. 731-40 in Computational Science and Its Applications — ICCSA 2003. Vol. 2669, Lecture Notes in Computer Science, édité par V. Kumar, M. L. Gavri-lova, C. J. K. Tan, et P. L'Ecuyer. Berlin, Heidelberg: Springer Berlin Heidelberg.

Dobrzański, L. A., L. B. Dobrzański, et A. D. Do-brzańska-Danikiewicz. 2020. « Additive and Hybrid Technologies Forproducts Manufacturing Using Pow-dersof Metals, Their Alloys and Ceramics ». Archives of Materials Science and Engineering 2(102):59-85.
doi:
10.5604/01.3001.0014.1525.

Calignano, F., M. Lorusso, J. Pakkanen, F. Trevi-san, E. P. Ambrosio, D. Manfredi, et P. Fino. 2017. « Investigation of Accuracy and Dimensional Limits of Part Produced in

التبريد وتمت إزالة المسحوق المتبقى في هذه العملية. علاوة على ذلك، يمكن اعتبار التعديل في المقطع العرضي لتحسين المقطع العرضي المطلوب بشكل فعال لتصميم القالب المحدد. سيتمحور العمل المستقبلي حول تطوير وتنفيذ تجارب معقدة لفهم أعمق لتفاعلات العملية وتأثيرها على الدقة البعيدة. ستسعى الدراسات اللاحقة إلى استكشاف عوامل إضافية تؤثر على الدقة البعيدة لأجزاء الصهر بالليزر الانتقائي وتعزيز الفهم للعلاقات المعقدة بين معاملات العملية وموقع البناء. بالإضافة إلى ذلك، سيعكف على تحسين معاملات عملية نظام SLM من خلال طباعة عينات متنوعة تستند إلى تصميم تجاري مدروس لاستكشاف قدرات إنتاج تفاصيل محبكة وتحقيق أجزاء ذات جودة عالية. كما سيتمأخذ وقت البناء، التكلفة، وخصائص المواد في الاعتبار ضمن الدراسة.

* المراجع

- Bártolo, Paulo, Ana de Lemos, Ana Tojeira, António Pereira, Artur Mateus, Ausenda Mendes, Cyril dos Santos, Dino Freitas, Helena Bártolo, Henrique Almeida, Igor dos Reis, Juliana Dias, Marco Domingos, Nuno Alves, Ruben Pereira, Tatiana Patrício, et Telma Ferreira, éd. 2011. Direct Manufac-turing Design Rules. CRC Press.
- Bremen, Sebastian, Wilhelm Meiners, et Andrei Diatlov. 2012. « Selective Laser Melting: A Manufac-turing

- Mortágua. 2016. « Selective Laser Melting (SLM) and Topology Optimization for Lighter Aero-space Componentes ». Procedia Structural Integrity 1:289-96. doi: 10.1016/j.prostr.2016.02.039.
- Moylan, Shawn, John Slotwinski, April Cooke, Kevin Jurrens, et M. Alkan Donmez. 2014. « An Additive Manufacturing Test Artifact ». Journal of Research of the National Institute of Standards and Technology 119:429. doi: 10.6028/jres.119.017.
- Rebaioli, Lara, et Irene Fassi. 2017. « A Review on Benchmark Artifacts for Evaluating the Geometrical Performance of Additive Manufacturing Process-es ». The International Journal of Advanced Manufacturing Technology 93(5-8):2571-98. doi: 10.1007/s00170-017-0570-0.
- Subbaian Kaliamoorthy, Paridhi, Rajkumar Subbiah, Joseph Bensingh, Abdul Kader, et Sanjay Nayak. 2019. « Benchmarking the Complex Geometric Pro-files, Dimensional Accuracy and Surface Analysis of Printed Aluminum Alloy by Selective Laser Melting ». The International Journal of Advanced Manufacturing Technology 88(1-4):451-58. doi: 10.1007/s00170-016-8788-9.
- Harun, Wan Sharuzi Wan, Kumaran Kadirgama, Mahendran Samykan, Devarajan Ramasamy, Iswadi Ahmad, et Mahmoud Moradi. 2019. « Mechanical Behavior of Selective Laser Melting-Produced Metallic Biomaterials ». P. 101-16 in Mechanical Behavior of Biomaterials. Elsevier.
- Kim, G. D., et Y. T. Oh. 2008. « A Benchmark Study on Rapid Prototyping Processes and Machines: Quantitative Comparisons of Mechanical Properties, Accuracy, Roughness, Speed, and Material Cost ». Proceedings of the Institution of Mechanical Engineers, Part B: Journal of Engineering Manufacture 222(2):201-15. doi: 10.1243/09544054JEM724.
- Seabra, Miguel, José Azevedo, Aurélio Araújo, Luís Reis, Elodie Pinto, Nuno Alves, Rui Santos, et Jo-ão Pedro

- Filler Material by TIG Welding ». Journal of Materials Research and Technology 21:220-36. doi: 10.1016/j.jmrt.2022.09.016.
- Pal, Snehashis, Nenad Gubeljak, Tonica Bončina, Radovan Hudák, Teodor Toth, Jozef Zivcak, Gorazd Lojen, Niko Leben, et Igor Drstvenšek. 2021. « The Effects of Locations on the Build Tray on the Quality of Specimens in Powder Bed Additive Manufacturing ». The International Journal of Advanced Manufacturing Technology 112(3-4):1159-70. doi: 10.1007/s00170-020-06563-5.
- Veetil, Jithin Kozhuthala, Mahyar Khorasani, AmirHossein Ghasemi, Bernard Rolfe, Ivo Vrooijink, Karin Van Beurden, Sebastiaan Moes, et Ian Gibson. 2021. « Build Position-Based Dimensional Deviations of Laser Powder-Bed Fusion of Stainless Steel 316L ». Precision Engineering 67:58-68. doi: 10.1016/j.precisioneng.2020.09.024.
- Thomas, Daniel. s. d. « The Development of Design Rules Parts ». Rapid Prototyping Journal 26(2):319-29. doi: 10.1108/RPJ-01-2019-0024
- Rupal, Baltej Singh, Rafiq Ahmad, et Ahmed Ja-wad Qureshi. 2018. « Feature-Based Methodology for Design of Geometric Benchmark Test Artifacts for Additive Manufacturing Processes ». Procedia CIRP 70:84-89. doi: 10.1016/j.procir.2018.02.012.
- Bayat, Mohamad, Aditi Thanki, Sankhya Mohanty, Ann Witvrouw, Shoufeng Yang, Jesper Thorborg, Niels Skat Tiedje, et Jesper Henri Hattel. 2019. « Key-hole-Induced Porosities in Laser-Based Powder Bed Fusion (L-PBF) of Ti6Al4V: High-Fidelity Modelling and Experimental Validation ». Additive Manufacturing 30:100835. doi: 10.1016/j.addma.2019.100835.
- Ghumman, Khubaib Zafar, Sadaqat Ali, Emad Ud Din, Aamir Mubashar, Niaz Bahadur Khan, et Syed Waqar Ahmed. 2022. « Experimental Investigation of Effect of Welding Parameters on Surface Roughness, Micro-Hardness and Tensile Strength of AISI 316L Stainless Steel Welded Joints Using 308L

porosity and roughness in selective laser melting 316L parts ». Ar-chives of Materials Science and Engineering 1(90):5-15. doi: 10.5604/01.3001.0012.0607..

for Selective Laser Melting ». 318.

Yadroitsev, I., L. Thivillon, Ph. Bertrand, et I. Smurov. 2007. « Strategy of Manufacturing Components with Designed Internal Structure by Selective Laser Melting of Metallic Powder ». Applied Surface Science 254(4):980-83. doi: 10.1016/j.apsusc.2007.08.046.

ISO/ASTM standards (ISO/ASTM DIS 52904, ISO/ASTM 52911-1, ISO 12780, ISO 12781, ISO 12180, and ISO 12181)

M A Daoud, M H Mechkouri, Chairi Youssef , Kh B Haouari, Kamal Reklaoui. 2024. « Impact of build location on dimensional accuracy of 316L parts using SLM». Ar-chives of Materials Science and Engineering. doi: 10.5604/01.3001.0054.4683.

Khadija Bekkay Haouari, Mustapha Ouardouz. 2022. « Investigating the capability of low-cost FDM printers in producing microfluidic devices». Ar-chives of Materials Science and Engineering. doi: 10.5604/01.3001.0016.0670.

Król, M., J. Mazurkiewicz, et S. Żołnierczyk. 2018. « Optimization and analysis of